О переходе от статического уравнения 4D пространства-времени к волновому уравнению осцилляций в 5D математическом пространстве

Аннотация

В работе представлен переход от статического уравнения динамики пространства-времени в 4-мерной модели к волновому уравнению, описывающему осцилляции конфигурации в рамках 5D математического пространства. Исходное 4D уравнение, содержащее логарифмическую нелинейность и связанное с уравнением Пуассона, рассматривается в терминах переменной X, трактуемой как

координата пространства-времени. Определены характерные особые точки модели: $X = e^{-1/2}$, $X = e^{1/2}$ и $X = 1$. Для построения динамической картины вводится комплексная параметризация $X = e^{it}$, где t — не физическое время, а динамический параметр осцилляции физического пространства-времени в 5D математическом пространстве. Получено финальное тождество, выполнена его прямая проверка и проведён анализ особых точек в динамической картине.

1. Постановка задачи

Исходной является статическая задача в 4D пространстве-времени. Переменная X — координата пространства-времени, функции $G(X)$ и $R(X)$ определяются через вспомогательные функции $F(X)$ и $S(X)$:

$$F(X) = \frac{2 \ln X}{X^2},$$

$$S(X) = 2X^2 \ln X,$$

$$G = F + S,$$

$$R = F - S.$$

Исходное уравнение в 4D записывается при $n = 4$:

$$G''_{xx} + (n-1)\,\frac{R'_x}{X} = -4\left(\frac{1}{X^4} + 2\ln X\right),$$

$$n = 4, \qquad (n-1) = 3.$$

В структуре уравнения присутствует логарифмическая

нелинейность, связанная с уравнением Пуассона рассматриваемой модели.

2. Особые точки исходной 4D модели

В 4D постановке определены три характерные точки:

$$X = e^{-1/2} \quad \text{— минимум функции } S(X),$$

$$X = e^{1/2} \quad \text{— максимум функции } F(X),$$

$$X = 1 \quad \text{— точка сшивки, где } F = S.$$

Эти точки задают статическую структуру конфигурации пространства-времени и сохраняют своё значение как опорные масштабы при переходе к динамической модели.

3. Переход к динамической параметризации

Для перехода к эволюционной картине вводится комплексная параметризация:

$$X = e^{it},$$

где t — **не физическое время**, а динамический параметр осцилляции физического пространства-времени в новом 5D математическом пространстве. При этом производные преобразуются по цепному правилу:

$$\frac{dX}{dt} = iX,$$

$$\frac{d^2X}{dt^2} = -X.$$

Таким образом, статическое уравнение по переменной X

трансформируется в уравнение по параметру t, что соответствует переходу от 4D постановки к 5D модели.

4. Выражение G и R через параметр t

Подставляя $X = e^{it}$, $\ln X = it$, $X^2 = e^{i2t}$, $1/X^2 = e^{-i2t}$, получаем:

$$F = \frac{2it}{e^{i2t}} = 2it\, e^{-i2t},$$

$$S = 2e^{i2t} \cdot it = 2it\, e^{i2t}.$$

Тогда:

$$G = F + S = 2it(e^{-i2t} + e^{i2t}) = 4it\cos(2t),$$

$$R = F - S = 2it(e^{-i2t} - e^{i2t}) = 2it(-2i\sin(2t)) = 4t\sin(2t),$$

где использовано $i^2 = -1$.

5. Производные по параметру t

Первая производная R

$$R = 4t\sin(2t),$$

$$R'_t = 4\sin(2t) + 8t\cos(2t),$$

$$4R'_t = 16\sin(2t) + 32t\cos(2t).$$

Вторая производная G

$$G = 4it\cos(2t),$$

$$G'_t = 4i\cos(2t) - 8it\sin(2t),$$

$$G''_{tt} = -16i\sin(2t) - 16it\cos(2t).$$

Умножая на i:

$$iG''_{tt} = i(-16i\sin(2t) - 16it\cos(2t)) = 16\sin(2t) + 16t\cos(2t).$$

6. Прямая проверка тождества

Вычисляем ключевую комбинацию:

$$4R'_t - iG''_{tt} = (16\sin(2t) + 32t\cos(2t)) - (16\sin(2t) + 16t\cos(2t)).$$

Группируя слагаемые:

$$(16 - 16)\sin(2t) + (32 - 16)t\cos(2t) = 16t\cos(2t).$$

Таким образом, доказано:

$$\boxed{4R'_t - iG''_{tt} = 16t\cos(2t)}.$$

Осцилляторные компоненты $\sin(2t)$, присутствующие в отдельных слагаемых $4R'_t$ и iG''_{tt}, взаимно сокращаются. В результате остаётся только член $16t\cos(2t)$, содержащий линейный по t множитель при осциллирующей функции $\cos(2t)$. Проверка подтверждает внутреннюю согласованность модели при выбранной параметризации.

7. Финальный вид тождества для $n = 5$

Модель построена именно для 5-мерного математического пространства, поэтому финальное тождество формулируется строго для $n = 5$. Исходя из результата раздела 6:

$$4R'_t - iG''_{tt} = 16t\cos(2t),$$

перепишем его в нормированной форме, выделяя множитель $(n-1)$ как структурную константу модели. При $n = 5$ имеем $n - 1 = 4$, поэтому:

$$R'_t - \frac{iG''_{tt}}{4} = 4t\cos(2t).$$

Заменяя 4 на $(n-1)$ при фиксированном $n=5$, получаем финальный вариант тождества:

$$\boxed{R'_t - \frac{iG''_{tt}}{n-1} = (n-1)t\cos(2t)}, \qquad n=5.$$

Это уравнение описывает колебания 4D пространства-времени в рамках заданной 5D структуры.

8. Анализ особых точек в динамической картине

Точки исходной 4D модели отображаются на комплексную плоскость параметра t.

Точка сшивки $X = 1$:

$$e^{it} = 1 \quad \Rightarrow \quad t = 0 \pmod{2\pi}.$$

Экстремумы функций F и S:

$$X = e^{1/2} \quad \Rightarrow \quad it = \frac{1}{2} \quad \Rightarrow \quad t = -\frac{i}{2},$$

$$X = e^{-1/2} \quad \Rightarrow \quad it = -\frac{1}{2} \quad \Rightarrow \quad t = \frac{i}{2}.$$

Таким образом:

- точка сшивки $X = 1$ лежит на вещественной оси параметра t и соответствует его нулевому значению;
- экстремумы F и S переходят в чисто мнимые точки $t = \mp i/2$, лежащие вне вещественного контура осцилляции.

В точке $t = 0$ правая часть уравнения обращается в нуль:

$$16t\cos(2t)\Big|_{t=0} = 0.$$

Разложение в окрестности нуля:

$$16t\cos(2t) = 16t - 32t^3 + \dots$$

Ведущее поведение линейно по t, без расходимостей. Это согласуется со статической точкой сшивки: в начале осцилляции решение гладко, сингулярности отсутствуют.

Экстремумы F и S, лежащие в комплексной плоскости t, не порождают особенностей на вещественном контуре осцилляции. Их роль — задание характерных масштабов, определяющих амплитуды и фазы колебаний.

9. Физическая интерпретация структуры правой части

Правая часть $(n-1)t\cos(2t)$ обладает двумя свойствами:

1. линейный рост амплитуды $\propto t$;
2. периодическая модуляция $\cos(2t)$ с частотой 2.

При усреднении по периоду осцилляции π остаётся линейный тренд:

$$\left\langle R'_t \right\rangle \sim t.$$

Осциллирующая компонента описывает моды возмущений пространства-времени вокруг этого тренда. Структурная

аналогия с законом Хаббла $v = H_0 r$ состоит в наличии нарастающего с параметром t усреднённого тренда расширения, на который наложены периодические флуктуации.

Подчеркнём ещё раз: параметр t — динамический параметр осцилляции, а не физическое время; связь с космологическим временем требует отдельного построения и в настоящей работе не выполняется.

10. Выводы

1. Статическое 4D уравнение

$$G''_{xx} + 3\,\frac{R'_x}{X} = -4\left(\frac{1}{X^4} + 2\ln X\right)$$

при комплексной параметризации $X = e^{it}$ переходит в уравнение по параметру осцилляции t.

2. При прямой параметризации получены выражения:

$$G = 4it\cos(2t), \qquad R = 4t\sin(2t),$$

$$4R'_t = 16\sin(2t) + 32t\cos(2t),$$

$$iG''_{tt} = 16\sin(2t) + 16t\cos(2t).$$

3. Прямая проверка подтверждает тождество:

$$4R'_t - iG''_{tt} = 16t\cos(2t).$$

4. С учётом размерности $n = 5$ математического пространства получен финальный вид:

$$R'_t - \frac{iG''_{tt}}{n-1} = (n-1)t\cos(2t), \qquad n = 5.$$

5. Особые точки исходной 4D модели сохраняют свою роль: $X = 1$ задаёт регулярное начало осцилляции ($t = 0$, нулевая правая часть), а экстремумы $X = e^{\pm 1/2}$ переходят в комплексные точки $t = \mp i/2$, определяющие характерные масштабы колебаний.

6. Правая часть — линейно растущая с осцилляциями — допускает структурную интерпретацию как источник усреднённого расширения с наложенными модами возмущений; параметр t при этом остаётся динамическим параметром осцилляции 4D пространства-времени в 5D математическом пространстве.

Приложение А. Графический анализ статической структуры решения и гипотеза об односторонней гиперповерхности

A.1. Два представления одной структуры

Статическое решение модели допускает два эквивалентных представления — в переменной w и в переменной x — связанных монотонным отображением:

$$w = \ln(X^2) = 2\ln x, \qquad |x| = e^{w/2}.$$

В переменной w функции принимают симметричный вид:

$$F(w) = w\,e^{-w}, \qquad S(w) = w\,e^{w}.$$

В исходной переменной x те же функции имеют вид:

$$F(x) = \frac{2\ln x}{x^2}, \qquad S(x) = 2x^2 \ln x.$$

Рис. 1. Функции $F = we^{-w}$ (красная) и $S = we^{w}$ (синяя) в переменной w; точка сшивки $w = 0$ совпадает с началом координат.

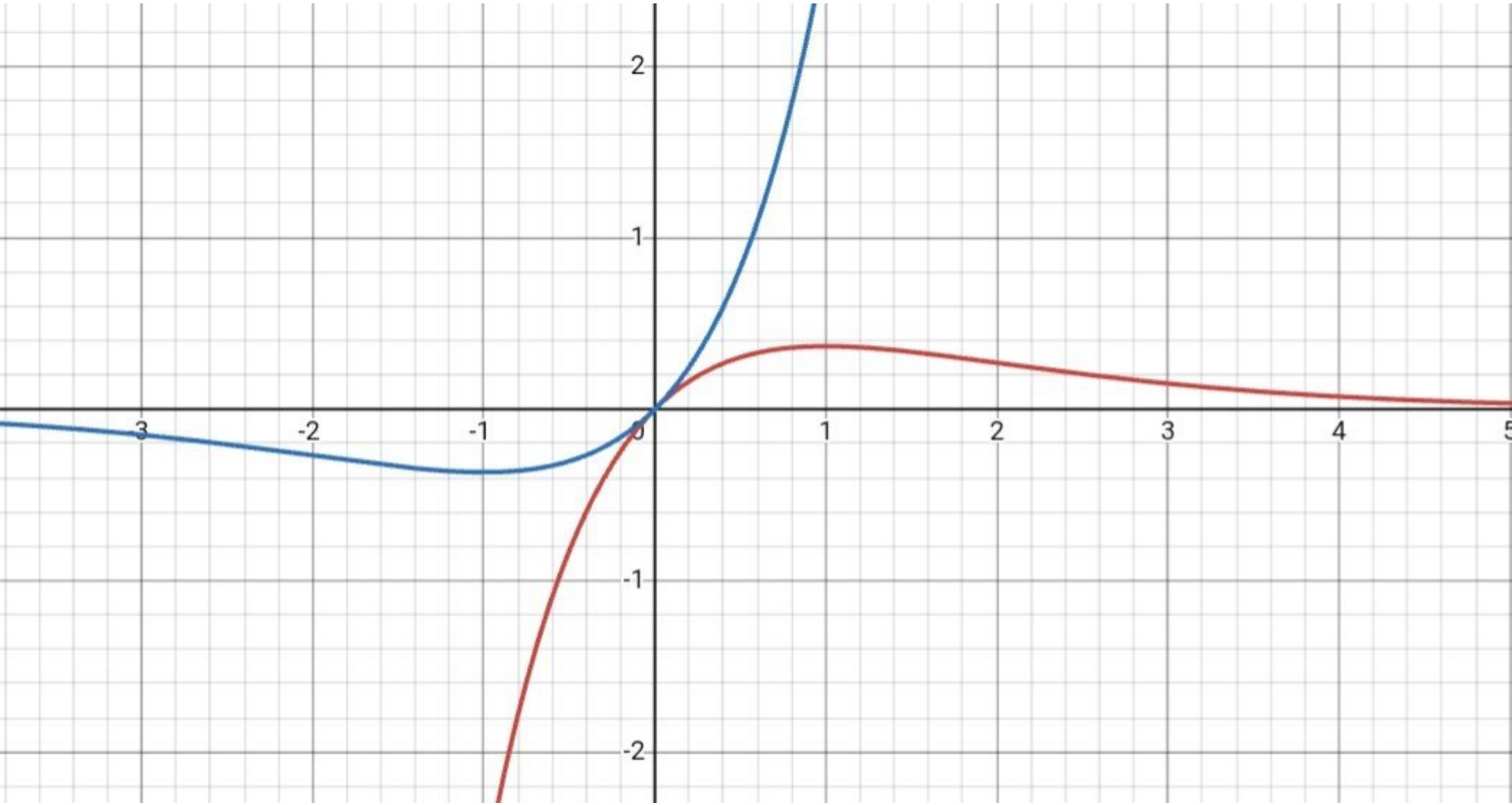
2
1
-1
-2
-3
-2
-1
0
1
2
3
4

Рис. 2. Функции $F = 2\ln x/x^2$ (красная) и $S = 2x^2 \ln x$ (синяя) в переменной x; сшивка $x = \pm 1$.

Оба рисунка отображают одну и ту же структуру: Рис. 2 даёт физическую пространственную картину с наглядным разделением областей, Рис. 1 выявляет зеркальную симметрию $we^{-w} \leftrightarrow we^{w}$ и делает фазовую структуру наглядной.

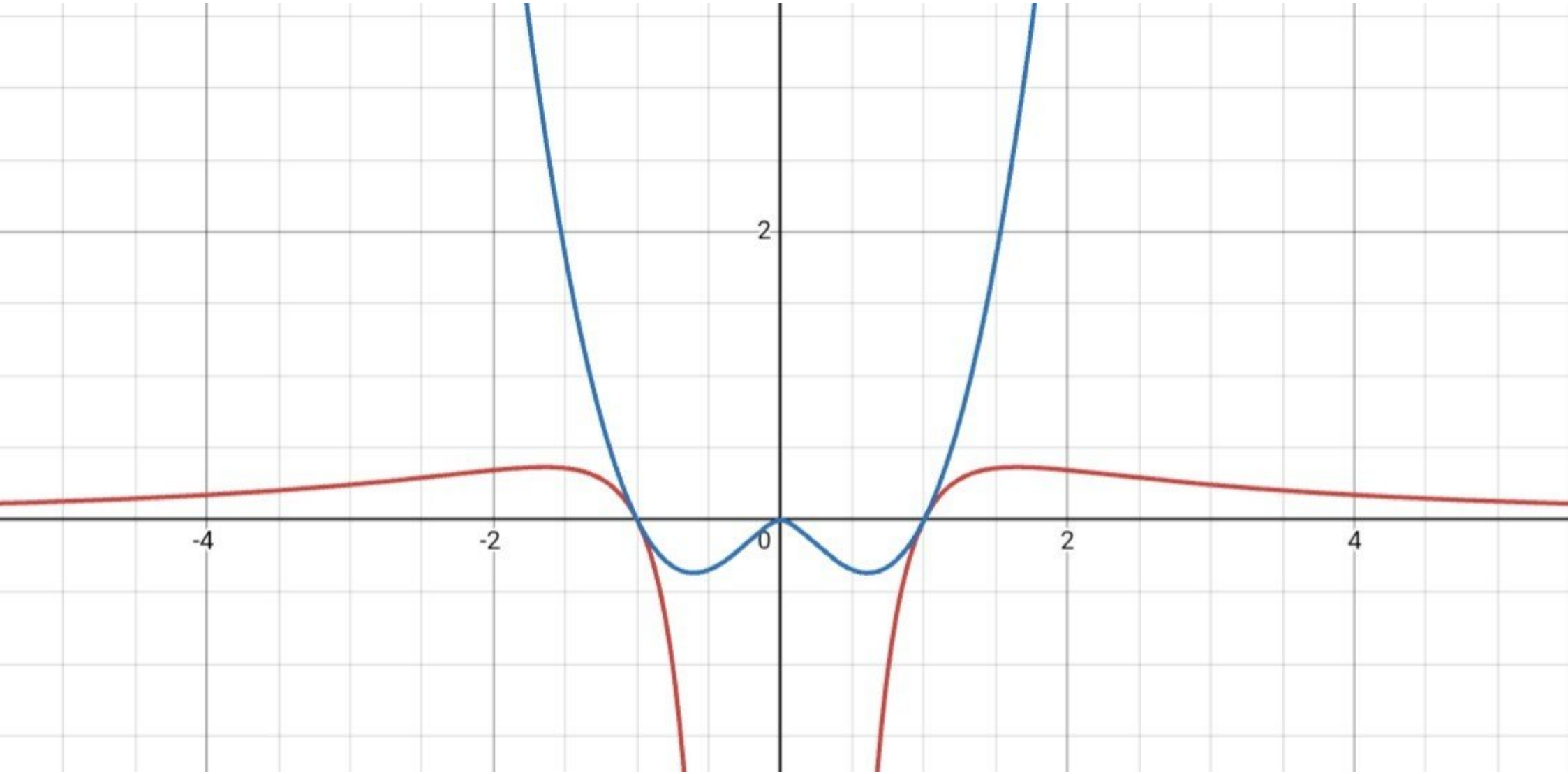
2
-4
-2
0
2
4

A.2. Распределение ролей функций по областям

По условиям задачи решение в каждой области строится на своей функции:

$$w < 0 \quad (X^2 < 1):$$

решение определяется $S = we^w$ — синяя кривая,

$$w > 0 \quad (X^2 > 1):$$

решение определяется $F = we^{-w}$ — красная кривая.

Точка сшивки — общее обнуление обеих функций при $w = 0$:

$$F(0) = S(0) = 0 \quad \Leftrightarrow \quad X^2 = 1.$$

В переменной x сшивка расположена в точках $x = \pm 1$; обе функции чётны по $|x|$, что задаёт зеркальную симметрию картины на Рис. 2.

Предельные отображения оси w на переменную x:

$$w \to -\infty \quad \Leftrightarrow \quad X \to 0,$$

$$w \to +\infty \quad \Leftrightarrow \quad X \to \infty.$$

A.3. Особые точки

Экстремумы вычисляются дифференцированием.

Минимум S:

$$S'(w) = e^w(1+w) = 0 \quad \Rightarrow \quad w = -1,$$

$$S(-1) = -\frac{1}{e} \approx -0{,}368,$$

$$w = -1 \quad \Leftrightarrow \quad X = e^{-1/2} \approx 0{,}607.$$

Максимум F:

$$F'(w) = e^{-w}(1-w) = 0 \quad \Rightarrow \quad w = 1,$$

$$F(1) = \frac{1}{e} \approx 0{,}368,$$

$$w = 1 \quad \Leftrightarrow \quad X = e^{1/2} \approx 1{,}649.$$

Обе точки полностью согласуются с особыми точками исходной 4D модели (раздел 2 основной статьи): минимум S при $X = e^{-1/2}$ и максимум F при $X = e^{1/2}$. Значения в экстремумах зеркальны: $\mp 1/e$.

A.4. Фазовая структура: расширение и сжатие

Знаки производных задают фазовую картину при движении слева направо по оси w (от $w = -\infty$ к $w = +\infty$), для вещественной части решения:

$$w < -1 :$$

S убывает — сжатие пространства-времени,

$$-1 < w < 0 :$$

S растёт — расширение пространства-времени,

$$0 < w < 1 :$$

F растёт — расширение пространства-времени,

$$w > 1 :$$

F убывает — сжатие пространства-времени.

Фаза расширения занимает непрерывный интервал $-1 < w < 1$ и проходит через точку сшивки $w = 0$ без излома: расширение

внутренней области перетекает в расширение внешней. Фазы сжатия примыкают с обеих сторон и ограничены особыми точками $w = \mp 1$, то есть $X = e^{\mp 1/2}$.

Таким образом, экстремумы F и S играют роль фазовых границ: между ними конфигурация расширяется, за их пределами — сжимается. В терминах Рис. 2: пространство-время расширяется между $X = e^{-1/2}$ и $X = e^{1/2}$, проходя через точку сшивки $X = 1$; вне этого интервала — сжимается.

A.5. Склейка на бесконечностях

Асимптотика функций на концах оси w перекрёстная:

$$F(w) \to 0^{+} \quad (w \to +\infty), \qquad S(w) \to 0^{-} \quad (w \to -\infty),$$

$$F(w) \to -\infty \quad (w \to -\infty), \qquad S(w) \to +\infty \quad (w \to +\infty).$$

Нулевые ветви смыкаются через значение ноль с противоположных сторон: F подходит к нулю сверху, S — снизу. Склейка концов с противоположных сторон означает

смену ориентации при обходе контура. Расходящиеся ветви отождествляются через предельные точки $X = 0$ и $X = \infty$, которые в замкнутой конструкции совпадают: бесконечно удалённая точка и точка $X = 0$ — это один и тот же край конфигурации, пройденный с разных сторон.

Тем самым решение замыкается в единый контур: сжатие внешней области ($w > 1$) через нулевую сшивку переходит во внутреннюю область, проходит фазу расширения $-1 < w < 1$ и через сшивку $w = 0$ возвращается во внешнюю область.

A.6. Интерпретация решения как 4D неориентируемого многообразия с краем

Статическое решение модели, заданное функциями $F(w) = we^{-w}$ и $S(w) = we^{w}$ с их склейкой при $w = 0$ и асимптотическим поведением на бесконечностях, допускает интерпретацию как 4-мерное неориентируемое многообразие с краем, гладко вложенное в $\mathbb{R}^5$.

Край многообразия образуют предельные точки $X = 0$ и $X = \infty$, соответствующие асимптотическим режимам решения. В терминах переменной w это пределы $w \to -\infty$ и $w \to +\infty$. Указанные точки не отождествляются между собой и служат естественными границами области определения решения. Наличие края принципиально отличает данную конструкцию от замкнутых неориентируемых многообразий и снимает топологические препятствия к вложению в $\mathbb{R}^5$, обусловленные теоремой Жордана–Брауэра: для

многообразий с краем запрет на неориентируемость в качестве гиперповерхности не действует.

Неориентируемость реализуется за счёт перекрёстной склейки нулевых ветвей функций F и S. При $w \to +\infty$ функция $F(w)$ стремится к нулю сверху: $F \to 0^+$. При $w \to -\infty$ функция $S(w)$ стремится к нулю снизу: $S \to 0^-$. Такой подход к нулю с противоположных сторон обеспечивает смену ориентации при обходе контура и соответствует топологическому эффекту «перекрута». В терминах модели

это означает, что при переходе от внутренней области ($X < 1$) к внешней ($X > 1$) и обратно через сшивку $X^2 = 1$ направление нормали (или эквивалентный ему признак ориентации) меняется на противоположное.

Сшивка функций при $w = 0$ ($X^2 = 1$) обеспечивает непрерывность решения без излома. Экстремумы функций в точках $w = \mp 1$ ($X = e^{\mp 1/2}$) задают фазовые границы: в интервале $-1 < w < 1$ реализуется фаза расширения пространства-времени, вне этого интервала — фазы сжатия.

Таким образом, внутренняя и внешняя области не являются независимыми конфигурациями, а плавно перетекают друг в друга через сшивку, образуя единую структуру.

Аналогом данной конструкции в более низкой размерности служит лента Мёбиуса: это перекрученное кольцо (а не замкнутый диск), имеющее границу. В 2D случае граница — это одна замкнутая кривая; в 4D модели роль границы играют две предельные области — окрестность $X = 0$

(интерпретируемая как сингулярность, центр чёрной дыры) и окрестность $X = \infty$ (пространственная бесконечность). «Перекрут» в 4D случае обеспечивается не геометрическим закручиванием, а склейкой асимптотик с противоположных сторон нуля, что математически эквивалентно изменению ориентации.

В силу наличия края конструкция остаётся многообразием с границей ∂M, допускающим гладкое вложение в $\mathbb{R}^5$. Это позволяет сохранить интерпретацию единого замкнутого

процесса (перетока сжатия и расширения) в рамках 5-мерного математического пространства, избегая необходимости повышения размерности до 6 или 7, которое потребовалось бы при попытке отождествить предельные точки и сделать многообразие замкнутым.

Таким образом, предложенная модель описывает не замкнутую неориентируемую гиперповерхность (что невозможно в $\mathbb{R}^5$), а 4-мерное неориентируемое многообразие с краем. Такая структура согласуется как с

аналитическими свойствами функций F и S и их асимптотикой, так и с топологическими ограничениями на вложения. Физически это соответствует локальному восприятию единого перетока: участок сжатия интерпретируется как коллапс (чёрная дыра), участок расширения — как Большой взрыв, при этом оба сценария являются фазами одного непрерывного процесса, ограниченного предельными режимами $X = 0$ и $X = \infty$.